

Code Attestation with Compressed Instruction Code

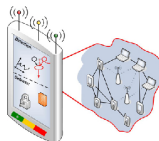
Benjamin Vetter (benjamin.vetter@haw-hamburg.de)
Prof. Dr. Dirk Westhoff (westhoff@informatik.haw-hamburg.de)

Hochschule für Angewandte Wissenschaften Hamburg
Fakultät Technik und Informatik

Stand: 3. Mai 2011



Hochschule für Angewandte Wissenschaften Hamburg
Hamburg University of Applied Sciences

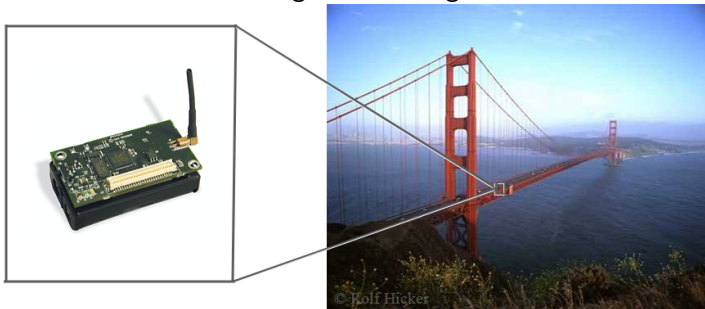


Gliederung

- 1 Einführung
- 2 Related Work
 - Code Attestation
 - On-The-Fly Decompression
- 3 Einordnung und Abgrenzung
- 4 Zusammenfassung
- 5 Referenzen

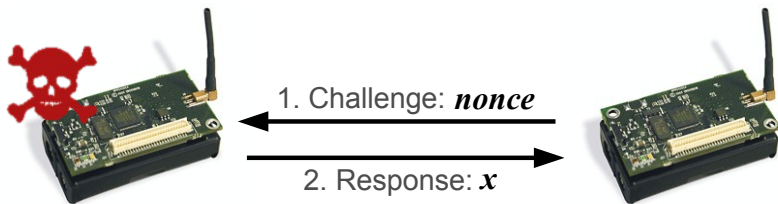
Was wollen wir?

Wir wollen sicherstellen, dass ein Sensorknoten noch das korrekte, vertrauenswürdige Code Image ausführt.



¹<http://www.hicker.de/>

Attestation mit Challenge Response Protokoll



Challenge Response Protokoll:

- Die Basis-Station schickt einem Knoten eine Challenge *nonce*
- Der Sensor berechnet als Response eine Checksum seines Program-Memories samt Code Image *CI*
- Korrekte Response \implies Der Knoten ist vertrauenswürdig
- Falsche Response \implies Der Knoten ist kompromittiert

Compression Attack

[CFPS09] auf der CCS '09:

- Kompression von CI mit verlustfreiem Kompressionsverfahren durch den Angreifer (z.B. CHE), d.h. $C(CI)$
- Im so gewonnenen Program Memory kann der Angreifer das Schadecode Image \widetilde{CI} ablegen
- zur Attestation Zeit: On-the-fly Dekompression von $C(CI)$, d.h. $C^{-1}(C(CI))$
- Überlistet Code Attestation Protokolle, da x korrekt ist

Unser Lösungsvorschlag

Code Attestation with Compressed Instruction Code

Bereits komprimiertes CI , d.h. $C(CI)$, auf den Knoten laden, um zu verhindern, dass ein Angreifer CI wesentlich komprimieren kann

$$x = h(\textit{nonce} || C(CI) || \dots) \quad (1)$$

Unsere Kompression erhöht den Aufwand für einen Angreifer 'by orders of magnitude', so dass der Overhead leicht zu entdecken ist

Gliederung

- 1 Einführung
- 2 Related Work
 - Code Attestation
 - On-The-Fly Decompression
- 3 Einordnung und Abgrenzung
- 4 Zusammenfassung
- 5 Referenzen

Gliederung: Code Attestation Protokolle

Gliederung: Code Attestation Protokolle

- SWATT [SPvDK04]
 - Pseudorandom Memory Traversal
 - Angriff auf SWATT [CFPS09]
- SCUBA [SLP⁺06]
 - Angriff auf SCUBA [CFPS09]
- Noise Filling [YWZC07]
 - Angriff auf Noise Filling [CFPS09]
- Attestation mittels Obfuskiierung [SMKK05]

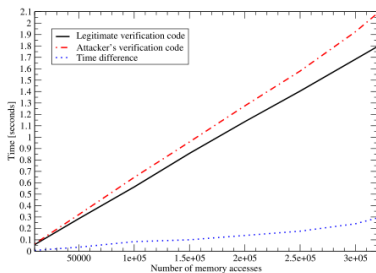
SWATT

SWATT: [SPvDK04]

- Der Angreifer muss bei der Berechnung von x für jede Speicherstelle überprüfen, ob er sie überschrieben hat
- Entspricht zusätzlichem *if()*
- Pseudorandom Memory Traversal: *nonce* als PRNG-Seed \implies zufällige Wahl des nächsten Bytes
- Die Response-Berechnung solange laufen lassen, bis der Angreifer durch den Aufwand der extra *if()*'s entdeckt ist



L. van Doorn A. Perrig A. Seshadri P. Khosla



Angriff auf SWATT



C. Castelluccia A. Francillon

Angriff auf SWATT: [CFPS09]

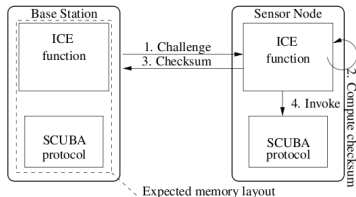
- 2 Weak-Assumptions in SWATT
 - SWATT hat den effizientesten Algorithmus um x zu berechnen
 - Für die Berechnung des Overheads der *if()*'s wurde vom effizientesten Algrithmus ausgegangen
- Hack: Eine oder beide Assumptions widerlegen
- Castelluccia und Francillon haben für *test-and-redirect* statt der angenommenen 3 cycles nur 2 cycles benötigt

⇒ So enges, korrektes Timing ist grundsätzlich schwierig

SCUBA



L. van Doorn A. Perrig A. Seshadri P. Khosla M. Luk



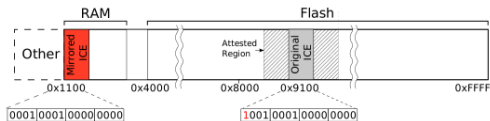
SCUBA: [SLP⁺06]

- Basiert auf ICE (Indisputable Code Execution) um einen Vertrauensanker zu bootstrappen
- ICE soll garantieren, dass die Attestation-Routine unmodifiziert ausgeführt wird
- Es wird ein Untampered Execution Environment gebootstrapped, indem der Attestation-Code ausgeführt wird

Angriff auf SCUBA



C. Castelluccia A. Francillon



$$C_j = C_j + PC \oplus mem[current_address] + j \oplus C_{j-1} + x \oplus current_address + C_{j-2} \oplus SR$$

Angriff auf SCUBA: [CFPS09]

- *Most Significant Bit* im PC und jeder $mem[current_address]$ kippen \iff ICE-Kopie an anderer Adresse ausführen
- Das Kippen des *Most Significant Bit* zweier Eingabewerte hebt sich bei Addition auf, und Carry wird weggeworfen:

$$C_{j-1} + PC \oplus mem[current_address] + \dots$$

Beispiel, Original: $0b1\dots + 0b1\dots \oplus 0b0\dots = 0b0\dots$

Gekippt: $0b1\dots + 0b0\dots \oplus 0b1\dots = 0b0\dots \text{ ☺}$

Noise Filling



S. Zhu G. Cao Y. Yang X. Wang



C. Castelluccia A. Francillon

Noise Filling: [YWZC07]

- Ungenutztes Program Memory mit pseudozufälligen Daten *PRW* füllen; Der Angreifer kann *PRW* nicht überschreiben
- Inhalt von *PRW* in die Checksumme fließen lassen

Angriff auf Noise Filling: [CFPS09]

- Code Image komprimieren: $C(CI)$ um Platz für \widetilde{CI} zu schaffen
- Während der Attestation $C(CI)$ dekomprimieren: $C^{-1}(C(CI))$ um die Response x korrekt zu berechnen

Attestation mittels Obfuskierung



Y. Kim

V. Kher

K. Mahadevan

M. Shaneck

Attestation mittels Obfuskierung: [SMKK05]

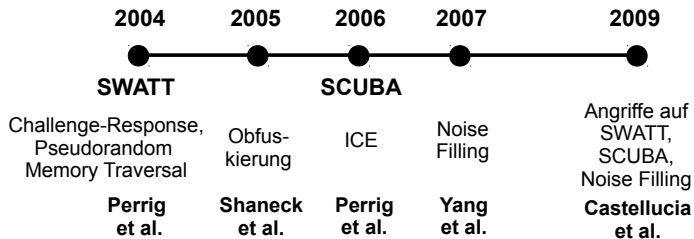
- Der Attestation-Algorithmus wird zu Beginn übertragen
- Der Angreifer muss den Algorithmus analysieren
- Obfuskierung durch *Self-Modifying Code*, *Randomization*, etc.

Probleme:

- *Self-Modifying Code* ist nicht auf Harvard-Arch. möglich
- Kompliziertes, fragwürdiges Konzept (Komplexität, Reverse Engineering VS endlich viele Algorithmus-Varianten)

Chronologie: Code Attestation Protokolle

Chronologie: Code Attestation Protokolle

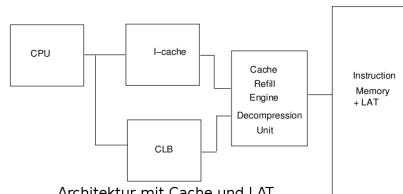
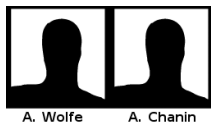


Gliederung: On-The-Fly Decompression

Gliederung: On-The-Fly Decompression

- Block-basiert
 - Cache und LAT
 - Cache im RAM
- Dictionary- oder Decoding Table basiert
 - Grundsätzlich
 - Neue Optimierungen
 - Instruction Splitting
 - Re-encoding

Block-basiert



Architektur mit Cache und LAT

Block-basiert: [WC92]

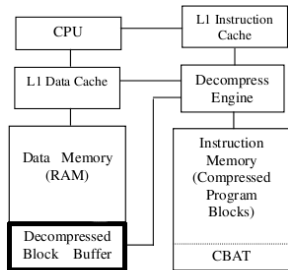
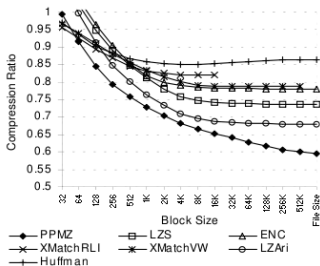
- Block-basierte On-The-Fly Decompression mit Line Address Table (LAT) und Cache
- Die LAT hält die Offsets der komprimierten Blöcke bereit
- Der Cache speichert den aktuellen Block zwischen
- Kleiner Cache, moderate Kompressionraten, Huffman-Coding

Cache im RAM



X. Xu

S. Jones



Arch. mit Cache im RAM

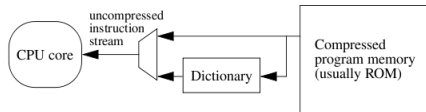
Cache im RAM: [XJ03]

- Die Kompressionsrate ist für größere Blockgrößen besser
- Cache-Größen von bspw. 32-bytes reichen nicht aus
- Die Blockgröße kann deutlich größer ausfallen, wenn das RAM für den Cache verwendet wird

Dictionary-basiert



Dictionary-basiert: [LBCM97]



- Häufig vorkommende Codesequenzen werden in einem Dictionary gespeichert
- Im Code werden die Sequenzen durch kürzere Codewörter ersetzt \implies Kompression
- Schnelle Dekompression, aber für jedes Dictionary-Verfahren existiert beweisbar ein mindestens so gutes statistisches Verfahren [BCW90]
- Kaum freie Wahl des Kompressionsverfahrens

Optimierung durch Instruction Splitting



J. Henkel

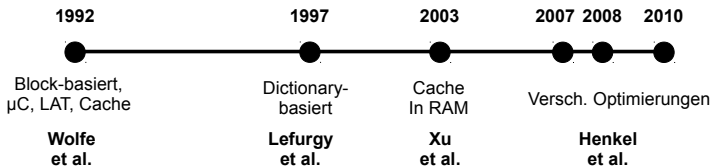
T. Bonny

Optimierung durch Instruction Splitting: [BH07]

- Dictionary/Table Verfahren kämpfen mit großen Dictionaries
- Unique Instructions brauchen unverhältnismäßig Platz im Dict.
- [BH07]: Unique Instr. werden in beliebige 'Patterns' zerlegt
- Jedes 'Pattern' soll insgesamt möglichst häufig vorkommen
- Huffman-Kompression der 'Pattern'-Code-Wörter
- Weitere Optimierungen von Henkel et al.: Instruction Re-encoding [BH08], Splitting plus Re-encoding [BH10]

Chronologie: On-The-Fly Decompression

Chronologie: On-The-Fly Decompression



Gliederung

- 1 Einführung
- 2 Related Work
 - Code Attestation
 - On-The-Fly Decompression
- 3 Einordnung und Abgrenzung
- 4 Zusammenfassung
- 5 Referenzen

Einordnung

Einordnung

- Challenge-Response Protokoll [SPvDK04]
- Pseudorandom Memory Traversal [SPvDK04]
- Timing-basert, aber nur grobe Nutzung [SPvDK04]
- Noise Filling [YWZC07]
- Block-basierte Kompression mit LAT, Cache [WC92]
- Cache im RAM [XJ03]

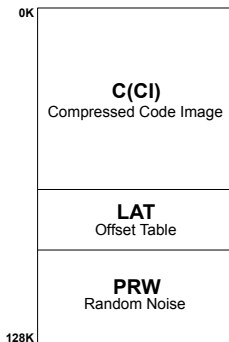
Abgrenzung

Abgrenzung

- Kompression zum Zwecke der Sicherheit
- ICE-basierte Verfahren [SLP⁺06]
- Attestation mittels Obfuskerung [SMKK05]
- Dictionary-basierte Kompressionsverfahren [LBCM97]

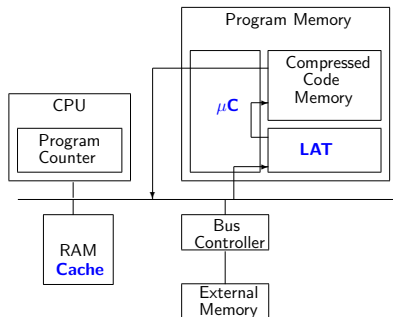
Unsere Wahl

Layout (Program Memory)



$$x = h(\text{nonce} || C(CI) || PRW || LAT)$$

Architektur (HW-Plattform)



Gliederung


- 1 Einführung
- 2 Related Work
 - Code Attestation
 - On-The-Fly Decompression
- 3 Einordnung und Abgrenzung
- 4 Zusammenfassung
- 5 Referenzen

Zusammenfassung

Zusammenfassung:

- Code Attestation
 - SWATT, Perrig et al. [SPvDK04]
 - SCUBA, Perrig et al. [SLP⁺06]
 - Noise Filling, Yang et al. [YWZC07]
 - Obfuskiierung, Shaneck et al. [SMKK05]
 - Angriffe, Castelluccia et al. [CFPS09]
- On-The-Fly Decompression
 - Block-basiert, Wolfe et al. [WC92]
 - Cache im RAM, Xu et al. [XJ03]
 - Dictionary, Lefurgy et al. [LBCM97]
 - Versch. Optimierungen, Henkel et al. [BH07] [BH08] [BH10]
- Einordnung, Abgrenzung

Referenzen I

-  Timothy C. Bell, John G. Cleary, and Ian H. Witten.
Text compression.
Prentice-Hall, Inc., Upper Saddle River, NJ, USA, 1990.
-  T. Bonny and J. Henkel.
Instruction splitting for efficient code compression.
In Design Automation Conference, 2007. DAC '07. 44th ACM/IEEE, pages 646 –651, june 2007.
-  T. Bonny and J. Henkel.
Instruction re-encoding facilitating dense embedded code.
In Design, Automation and Test in Europe, 2008. DATE '08, pages 770 –775, march 2008.

Referenzen II



Talal Bonny and Jörg Henkel.

Huffman-based code compression techniques for embedded processors.

ACM Trans. Des. Autom. Electron. Syst., 15:31:1–31:37, October 2010.





Claude Castelluccia, Aurélien Francillon, Daniele Perito, and Claudio Soriente.

On the difficulty of software-based attestation of embedded devices.

In *Proceedings of the 16th ACM conference on Computer and communications security*, CCS '09, pages 400–409, New York, NY, USA, 2009. ACM.

Referenzen III

-  Charles Lefurgy, Peter Bird, I-Cheng Chen, and Trevor Mudge. Improving code density using compression techniques. In *Proceedings of the 30th annual ACM/IEEE international symposium on Microarchitecture, MICRO 30*, pages 194–203, Washington, DC, USA, 1997. IEEE Computer Society.
-  Haris Lekatsas, Jörg Henkel, and Wayne Wolf. Code compression for low power embedded system design. In *Proceedings of the 37th Annual Design Automation Conference, DAC '00*, pages 294–299, New York, NY, USA, 2000. ACM.

Referenzen IV



Arvind Seshadri, Mark Luk, Adrian Perrig, Leendert van Doorn, and Pradeep Khosla.

Scuba: Secure code update by attestation in sensor networks.
In *Proceedings of the 5th ACM workshop on Wireless security*,
WiSe '06, pages 85–94, New York, NY, USA, 2006. ACM.



Mark Shaneck, Karthikeyan Mahadevan, Vishal Kher, and Yongdae Kim.

Remote software-based attestation for wireless sensors.
In Refik Molva, Gene Tsudik, and Dirk Westhoff, editors,
Security and Privacy in Ad-hoc and Sensor Networks, volume
3813 of *Lecture Notes in Computer Science*, pages 27–41.
Springer Berlin / Heidelberg, 2005.

Referenzen V

10.1007/11601494_3.



A. Seshadri, A. Perrig, L. van Doorn, and P. Khosla.
Swatt: software-based attestation for embedded devices.
In Security and Privacy, 2004. Proceedings. 2004 IEEE Symposium on, pages 272 – 282, May 2004.



Andrew Wolfe and Alex Chanin.
Executing compressed programs on an embedded risc
architecture.
SIGMICRO Newsl., 23:81–91, December 1992.

Referenzen VI

-  Xianhong Xu and S. Jones.
Code compression for the embedded arm/thumb processor.
In Intelligent Data Acquisition and Advanced Computing Systems: Technology and Applications, 2003. Proceedings of the Second IEEE International Workshop on, pages 31–35, 2003.
-  Yi Yang, Xinran Wang, Sencun Zhu, and Guohong Cao.
Distributed software-based attestation for node compromise detection in sensor networks.
In Proceedings of the 26th IEEE International Symposium on Reliable Distributed Systems, SRDS '07, pages 219–230, Washington, DC, USA, 2007. IEEE Computer Society.

Anhang: Table-Kompression

Index	8 bits							
000	0	0	0	0	1	0	0	0
001	0	0	0	1	1	0	1	0
010	0	0	0	0	1	0	0	1
011	0	0	1	0	1	0	1	1
100	1	1	1	1	0	1	0	1
101	0	0	1	0	1	0	0	1
110	1	1	1	0	1	0	1	1

Un-compressed, un-sorted Look-Up Table
 Table size= 56 bits

Table
 Compressing

Index	8 columns							
000	0	0		0	1		0	
001	0	0		1	1		1	001
010	0	0	010	0	1		0	
011	0	0		0	1	011	1	
100	1	1		1	0	100	0	
101	0	0		0	1		0	
110	1	1		0	1		1	

Compressed Look-Up Table
 Table size= 47 bits

Entries
 Sorting

Index								
000	0	0	0	1	1	0	1	0
001	0	0	0	0	1	0	0	0
010	0	0	0	0	1	0	0	1
011	0	0	1	0	1	0	0	1
100	0	0	1	0	1	0	1	1
101	1	1	1	0	1	0	1	1
110	1	1	1	1	0	1	0	1

Un-compressed, sorted Look-Up Table
 Table size= 56 bits

Table
 Compressing

Index	8 columns							
000					1	000		1
001					0			0
010			010		0			0
011					0			0
100	100	100			0			1
101					0	101	101	1
110					1			0

Compressed Look-Up Table
 Table size= 35 bits

Unused bit in the compressed column 